

الباب السادس

النظرية الإلكترونية للجوامد

Electronic theory of solids

حالات الإلكترونات في الذرة الحرة (المعزولة)

States of electrons in the isolated atom

لما كانت حالة الإلكترونات العميقة في بلورات المواد الصلبة لا تختلف كثيرا عنها في الذرات المعزولة، لذلك، يلزم إلقاء الضوء أولا على حالة الإلكترونات في الذرة قبل الانتقال لدراسة حالتها في بلورة الجسم الصلب.

وكما نعلم، فإنه يوجد العديد من القوانين التي تحكم حركة ومدارات الطاقة للإلكترونات في الذرة، فالأعداد الكمية المختلفة التي تصف حالة الإلكترون تخضع لعدة قواعد تلخصها كالتالي:

١-العدد الكمي الرئيسي n :

يأخذ القيم الصحيحة $1, 2, 3, \dots, n$ ويفسر الغلاف الكيميائي.

٢-العدد الكمي المداري ℓ :

ويأخذ القيم $1 - \ell \leq n \leq 0$ ويرتبط بالتوزيع الزاوي للإلكترونات ويصف المدارات الفرعية.

٣-العدد الكمي المغناطيسي m :

ويأخذ القيم $\ell \leq m \leq -\ell$ وهو عدد يحدد المدارات الفراغية وتأثيره ضعيف جدا على طاقة الإلكترون.

٤-العدد الكمي المغزلي ms :

وله قيمتان فقط هما $(\pm \frac{1}{2})$ ويعبر عن الحركة المغزالية للإلكترونات حول نفسها والتي يكون اتجاهها مع عقارب الساعة $(\frac{1}{2} +)$ أو عكس عقارب الساعة $(\frac{1}{2} -)$.

٥-مبدأ باولي:

وينص على أنه «لا يمكن لـلإلكترونين في النظام أن يمتلكا نفس مجموعة الأعداد

الكمية». وهذا المبدأ توصل إليه باولى معمليا عام ١٩٢٥ وأمكن استنتاجه رياضيا فيما بعد باستخدام ميكانيكا الكم Quantum mechanics.

جدول (٦-١) يعطى قيميا رقمية لهذه الأعداد الكمية حتى الغلاف الذري الثالث، حيث عندما $n=1$ فإن عدد الإلكترونات = ٢ وهو يقابل الغلاف الكيميائي K، وعندما $n=2$ فإن عدد الإلكترونات = ٨ وهو يقابل الغلاف L، وعندما $n=3$ فإن عدد الإلكترونات = ١٨ وهو يقابل الغلاف M، وهكذا.

Degree of degeneracy

وهي درجة انحلال الحالة إلى مستويات تحتية «sub shells»، وتعطى من العلاقة $d = l + 1$ فمثلا: في حالة S فإن $l=0$ وبالتالي يوجد مدار واحد، في حالة p فإن $l=1$ وبالتالي فإن $d=2$ ، وفي حالة d فإن $l=2$ وبالتالي فإن $d=5$ وهكذا. وجدير بالذكر أنه باستخدام القواعد السابقة يمكن شرح الجدول الدوري وتوزيع العناصر به (شكل ٦-٢).

جدول (٦-١): الأعداد الكمية وتوزيع الإلكترونات على الأغلفة الذرية الثلاثة الأولى

quantum numbers				level المدار	No. of states عدد الإلكترونات	chemical shell الغلاف الكيميائي	
n	ℓ	m	m_s				
1	0	0	$\pm \frac{1}{2}$	1s	2	K	
2	0	0	$\pm \frac{1}{2}$	2s	2	L	
	1	-1	$\pm \frac{1}{2}$	2p	6		
	1	0	$\pm \frac{1}{2}$				
	1	-1	$\pm \frac{1}{2}$				

quantum numbers الأعداد الكمية				level المدار	No. of states عدد الإلكترونات	chemical shell الغلاف الكيميائي	
n	l	m	m_s				
3	0	0	$\pm \frac{1}{2}$	3s	2	M	
	1	-1	$\pm \frac{1}{2}$	3p	6		
		0	$\pm \frac{1}{2}$				
		-1	$\pm \frac{1}{2}$				
	2	-2	$\pm \frac{1}{2}$	3d	10		
		-1	$\pm \frac{1}{2}$				
		0	$\pm \frac{1}{2}$				
		+1	$\pm \frac{1}{2}$				
		+2	$\pm \frac{1}{2}$				

جدول (٢) : طريقة توزيع العناصر في الجدول الدوري

العدد الذري	الرمز	التركيب الإلكتروني	العدد الذري	الرمز	التركيب الإلكتروني
1	H	$1s^1$	6	C	$1s^2 2s^2 2p^2$
2	He	$1s^2$	7	N	$1s^2 2s^2 2p^3$
3	Li	$1s^2 2s^1$	8	O	$1s^2 2s^2 2p^4$
4	Be	$1s^2 2s^2$	9	F	$1s^2 2s^2 2p^5$
5	B	$1s^2 2s^2 2p^1$	10	Ne	$1s^2 2s^2 2p^6$

حالة النظام الإلكتروني في المواد الصلبة (نظرية الشريطة) State of electron system in solids (Band theory)

معادلة شرودنجر للنظام الإلكتروني في الجوامد

Schrödinger equ. of solid system

تفترض النظرية الكلاسيكية أن الإلكترون عبارة عن نقطة مادية، وتحدد حالته بنصف قطر متجه (\mathbf{r}) وكمية حركة (\mathbf{p})، كما تعتبر النظام الإلكتروني ككل كأنه غاز أحادي الذرة، أي يتبع قانون بولتزمان الإحصائي. هذه النظرية لم تستطع وصف الخواص الحقيقية للإلكترونات في الجسم الصلب، حيث أهملت طبيعة الإلكترونات الموجية. أما في ميكانيكا الكم، فإن حالة الإلكترون المفرد توصف بواسطة الدالة الموجية $\Psi(r, t)$ ، حيث يعتبر الإلكترون منتشرًا (smear-spread) في الفراغ مكوناً سحابة إلكترونية (Electronic cloud) تعطي كثافتها عند أي نقطة باحتمال تواجد الإلكترون عند هذه النقطة وتسمى بكثافة الاحتمال ρ_p ، حيث:

$$\rho_p(r) = |\Psi(r, t)|^2 = \Psi(r, t)\Psi^*(r, t) \quad (6-1)$$

وتعطى الدالة الموجية للإلكترون بالعلاقة الآتية:

$$\Psi(r, t) = \Psi(r)e^{-\frac{E}{\hbar\omega}} \quad (6-2)$$

وتتعين سعة هذه الموجة وقيمة الطاقة (E) بحل معادلة شرودنجر الآتية:

$$\frac{\hbar^2}{2m_e} \Delta \Psi + [E - U(r)]\Psi = 0 \quad (6-3)$$

حيث $\Psi \Delta = \Psi^2 \Delta$ ، $\Psi \Delta = \Psi^2 \Delta$ ، هي طاقة الوضع ، وهي القوة التي يؤثر بها المجال الكهربائي على الإلكترون الواقع فيه. وتعرف حالة الإلكترون بالحالة الساكنة (stationary state) إذا كانت الدالة لا تتعدى على الزمن. ولما كان الجسم الصلب عبارة عن نظام مكون من عدد N_e نواة، e إلكتروناً، حيث $N_e = N_i$ للعنصر ذي العدد الذري Z ، لذلك فإن هذا النظام يمكن وصفه بالدالة الموجية الآتية:

$$\Psi = \Psi(r_1, r_2, \dots, r_{N_e}; R_1, R_2, \dots, R_K, \dots, R_{N_i}) e^{-\frac{E}{\hbar\omega}} \quad (6-4)$$

حيث r_i ، R_k متجهاً نصف القطر للإلكترون (s) والنواة (K) على الترتيب. وسعة هذه الدالة وقيمة الطاقة الكلية E يمكن الحصول عليهما بحل معادلة شرودنجر التالية:

$$\frac{\hbar^2}{2} \left[\frac{1}{m_e} (\Delta_1 + \Delta_2 + \dots + \Delta_s + \dots + \Delta_{N_e}) + \frac{1}{m_N} (\Delta_1 + \Delta_2 + \dots + \Delta_K + \dots + \Delta_{N_i}) \right] \Psi + [E - U(r_1, r_2, \dots, r_{N_e}; R_1, R_2, \dots, R_K, \dots, R_{N_i})] \Psi = 0 \quad (6-5)$$

وتعطى طاقة الوضع U للنظام من العلاقة الآتية :

$$U = U_{ex} + U_{ee} + U_{ii} + U_{ie} \quad (6-6)$$

حيث- m_n هما كتلتا الإلكترون والنواء على الترتيب ، - دالة وضع الإلكترونات والأنيوية في المجال الخارجي ، U_{ex} - دالة الوضع لتفاعل الإلكترونات كل مع الآخر، U_{ii} - دالة الوضع لتفاعل النويات كل مع الأخرى ، U_{ie} - دالة تفاعل كل إلكترون مع كل نواة. فلوتمكن حل المعادلة (6-5)، فإنه يمكن إيجاد كل الدوال الموجية Ψ والطاقة E ، وبالتالي يمكن تحديد الخصائص الإلكترونية للجسم الصلب، إلا أن الحل يبدو مستعصياً لوجود هذا العدد الهائل من المتغيرات، مما يستدعي استخدام بعض التقريرات التي تساعده في تبسيط المعادلة وتقليل عدد المتغيرات.

١- التقرير الأديبaticي (Adiabatic approximation)

نجزئ النظام إلى نوعين من الجسيمات الثقيلة (الأنيوية) والخفيفة (الإلكترونات). وبما أنه في حالة الاتزان تكون طاقة الحركة لهذه الجسيمات واحدة، أى أن:

$$\frac{1}{2} m_N v_N^2 = \frac{1}{2} m_o v_o^2$$

$$\therefore m_N \gg m_o$$

$$\therefore v_o \gg v_N$$

حيث m_o, m_N, v_N, v_o هي كتلتا وسرعتا الإلكترون والنواء على الترتيب. وهذا يعني أنه عند كل تغير لموضع الأنوية يحدث إعادة توزيع الإلكترونات في فراغ هذه الأنوية بشكل فجائي ليوائم الوضع الجديد. وفي هذه الحالة فإن الدالة الموجية وطاقة الإلكترونات تتغيران أديبaticياً مع تغير مواضع الأنوية، أى أنها تتغير شبه مستقلة عن التغير الحادث في مواضع هذه الأنوية، حيث تدخل إحداثيات مواضع الأنوية كثوابت في هذه الدوال. لذلك، فإنه يمكن اعتبار أن حركة الإلكترون تكون محكومة تقريراً بال المجال المتوسط الناتج عن التوزيع الفراغي للإلكترونات. وهذا التقرير يسمى «التقرير الأديبaticي» أو تقرير بورن - أبنجمير - Adiabatic or Born - Appaingemier approximation

وللحصول على تبسيط أكبر، فإنه يمكن اعتبار أن الأنوية ساكنة، وهذا يعني أن

إحداثيات الأنوية $R_{N_1}, R_{N_2}, \dots, R_{N_K}$ تصبح غير متغيرة (حيث تمثل إحداثيات عقد الشبكية)، وأن طاقة الحركة للأنوية تصبح متساوية للصفر، وتأخذ طاقة التفاعل U_{ee} بين الأنوية قيمة ثابتة، حيث باختيار بداية معينة لحساب الطاقة يمكن جعلها متساوية للصفر أيضاً.

٢- تقرير إلكترونات التكافؤ Valence approximation

في هذا التقرير نعتبر أن النواة مع كل إلكترونات الذرة (ما عدا إلكترونات التكافؤ) تكون قلباً غير متحرك (آيوناً)، وبالتالي كل موضع من مواضع عقد الشبكية تكون شحنته هي $-ez$ حيث $z > z'$ ، وعليه فإن العدة رقم (K) تؤثر على الإلكترون رقم (S) بجهد قيمته تساوي

$$U = \frac{ze^2}{|R_K - r_S|}$$

وتكون طاقة التفاعل الكلية بين الآيونات والإلكترونات هي:

$$U_{ie} = - \sum_{s=1}^{N_e} \sum_{K=1}^{N_i} \frac{z' e^2}{|R_K - r_s|} \quad (6-7)$$

وبهذه التقريرات أمكن تقليل عدد الجسيمات من ($N_i + 1$) جسيماً إلى ($N_i + z'$) نواة إلى ($N_i + z'$) إلكتروناً فقط. وبطريقة أخرى، فإن المسألة أصبحت تتمثل في تحديد الدالة الموجية لعدد ($N_e = N_i + z'$) فقط من إلكترونات التكافؤ الواقع في مجال آيونات الشبكية، حيث:

$$\Psi = \Psi(r_1, r_2, \dots, r_s, \dots, r_{N_e}) \quad (6-8)$$

$$U_{(r)} = U_{ie} + U_{ee} = - \sum_{s=1}^{N_e} \sum_{K=1}^{N_i} \frac{z' e^2}{|R_K - r_s|} + U_{ee} \quad (6-9)$$

أى أن معادلة شرودنجر أمكن تبسيطها للصورة الآتية:

$$\left(\sum_{s=1}^{N_e} \frac{\hbar^2}{2m_o} \Delta_s \right) \Psi + [E - (U_{ie} + U_{ee})] \Psi = 0 \quad (6-10)$$

٣- تقرير هارتري- فوك Hartree Fock approximation

معادلة شرودنجر المعطاة بالعلاقة (6-10) هي معادلة خاصة بعدد من الإلكترونات مقداره $N_i (z-z')$ ، ولحلها يلزم الأخذ في الاعتبار أن طاقة تفاعل الإلكترونات هي

عبارة عن مجموع طاقات تفاعل كل إلكترون مع الآخر، وهذا يعني أن المسألة ما زالت مستعصية الحل. ولقد اعتبرها رترى-فوك أن طاقة تفاعل الإلكترونات هي مجموع طاقات التفاعل لكل إلكترون مع القيمة المتوسطة لمجال الإلكترونات الأخرى، وعليه فإذا افترضنا أن طاقة الوضع للإلكترون S في المجال المتوسط لباقي الإلكترونات هي

$\Omega(r_s)$ فإن:

$$U_{ee} = \sum_{s=1}^{N_e} \Omega(r_s)$$

وبالمثل، فإنه يمكن اعتبار أن طاقة تفاعل الإلكترونات مع الآيونات تساوى مجموع تفاعلات كل إلكترون مع المجال المتوسط لآيونات:

$$i.e \quad U_{ie} = - \sum_s^{N_e} \sum_K^{N_i} \frac{z' e^2}{|r_K - r_s|} = \sum_{s=1}^{N_e} u(r_s)$$

وتكون طاقة النظام مساوية لمجموع طاقات كل الإلكترونات.

$$i.e \quad E = E_1 + E_2 + \dots + E_s + \dots + E_{N_e} = \sum_{s=1}^{N_e} E_s$$

وتصبح معادلة شرودنجر المطاءة بالعلاقة (٦-١٠) هي كالتالي:

$$\left(\sum_{s=1}^{N_e} \frac{\hbar^2}{2m_o} \Delta_s \right) \Psi + \left(\sum_{s=1}^{N_e} E_s \right) \Psi - \left[\sum_{s=1}^{N_e} u(r_s) + \sum_{s=1}^{N_e} \Omega(r_s) \right] \Psi = 0$$

$$\therefore \sum_{s=1}^{N_e} \left[-\frac{\hbar^2}{2m_o} \Delta_s + u(r_s) + \Omega(r_s) \right] \Psi = \left(\sum_{s=1}^{N_e} E_s \right) \Psi$$

$$i.e \quad \left(\sum_{s=1}^{N_e} H_s \right) \Psi = \left(\sum_{s=1}^{N_e} E_s \right) \Psi \quad (6-11)$$

$$H_s = \left[-\frac{\hbar^2}{2m_o} \Delta_s + u(r_s) + \Omega(r_s) \right] \quad \text{حيث:}$$

هو مؤثر هيرميتي (operator Hermetian).

والآن، سوف نستخدم الرمز $(\ell) \Pi \Psi_s$ لحاصل ضرب كل الدوال الموجية ما عدا الدالة Ψ ، كما نعتبر أن المؤثر H يؤثر فقط على الدالة Ψ لذلك فإن:

$$\Psi(r_1, r_2, \dots, r_s, \dots, r_{N_e}) = \prod_{s=1}^{N_e} \Psi(r_s)$$

$$[\Pi \Psi_s(1)] \Psi_1 = [\Pi \Psi_s(2)] \Psi_2 = \dots = \Pi \Psi_s$$

وتصبح العلاقة بالصورة الآتية :

$$\left(\sum_{s=1}^{N_e} H_s \right) \Pi \Psi_s = \left(\sum_{s=1}^{N_e} E_s \right) \Pi \Psi_s \quad (6-11)'$$

وبتجزئ كل من $\sum_s E_s$ & $\sum_s H_s$ فإن العلاقة الأخيرة تصبح:

$$\begin{aligned}
 & (H_1 + H_2 + \cdots + H_s + \cdots + H_{N_e})(\Psi_1 \Psi_2 \dots \Psi_s \dots \Psi_{N_e}) \\
 & = (E_1 + E_2 + \cdots + E_s + \cdots + E_{N_e})(\Psi_1 \Psi_2 \dots \Psi_s \dots \Psi_{N_e}) \\
 i.e. \quad & H_1 \Psi_1 + H_2 \Psi_2 + \cdots + H_s \Psi_s + \cdots \\
 & = (E_1 + E_2 + \cdots + E_s + \cdots)(\Psi_1 \Psi_2 \dots \Psi_s \dots)
 \end{aligned}$$

ولما كان كل حد من حدود الطرف الأيسر يعتمد فقط على إحداثيات الإلكترون واحد فإن العلاقة الأخيرة تكافئ العلاقة التالية :

$$\begin{aligned}
 H_1 \Psi_1 &= E_1 \Psi_1, \dots, H_s \Psi_s = E_s \Psi_s \\
 i.e. \quad \sum_{s=1}^{N_e} H_s \Psi_s &= \sum_{s=1}^{N_e} E_s \Psi_s \\
 \therefore \quad H_s \Psi_s &= E_s \Psi_s
 \end{aligned} \tag{6 - 12}$$

أى أنه بواسطة تقريب هارتري فوك تحولت معادلة شرودنجر لعديد من الجسيمات إلى معادلة خاصة بـ الإلكترون واحد تعطى بالصورة الآتية :

$$\frac{\hbar^2}{2m_0} \Delta_s \Psi(r_s) + [E_s - U(r_s)] \Psi(r_s) = 0 \tag{6 - 13}$$

حيث $U(rs)$ هي طاقة الوضع للإلكترون.

نظرية التشويه ومناطق التأثير الأساسية لـ الإلكترونات الجوامد
Perturbation Theory method and fundamental effective bands of electrons in solids.

بعد استخدام التقريبات السابقة أصبحت حالة الإلكترونات في الجسم الصلب تتصف بالمعادلة التفاضلية رقم (6-13)، حيث تمثل الدالة الموجية للإلكترون « S » كل الدوال الموجية لكل الإلكترونات الأخرى، وهو ما يعني أن حل المعادلة (6-13) لا يزال صعباً. ويتبادر عادة لحل هذه المسألة إما طريقة التقريبات المتتابعة (Method of sequent approximations)، حيث تعطي دقة لدرجة كبيرة إلا أنها تحتاج إلى عمل رياضي كبير، أو طريقة نظرية التشويه (Method of perturbation) وهي الطريقة التي نفضل استخدامها هنا نظراً لسهولتها، كما أنها تعطي معلومات كافية لدراسة حالة الإلكترونات من الناحية الكيفية.

وكما نعلم، فإن الإلكترونات في الجسم الصلب تتوزع إلى مجموعات من السحابات الإلكترونية في مناطق مختلفة من البللورة، فهناك سحابات تتكون بالقرب من النويات، وأخرى تتكون بين عقد الشبكية، حيث تسمى هذه المناطق بمناطق التأثير الأساسي. وعند دراسة حالة الإلكترونات في مجموعة معينة نختار دالة الوضع $\Psi^0(r)$ في

التقريب الصفرى بحيث تحقق الشرطين التاليين:

أ) يجب أن يكون معلوما لها حلول معادلة شرودنجر، أي يكون معلوما القيم الصفرية لكل من الدالة الموجية $\Psi^0(r)$ والطاقة E^0 .

ب) قيمة الدالة المختارة $\Psi^0(r)$ يجب أن تكون قريبة من الدالة $\Psi^0(r)$ المطلوبة لوصف حالة الإلكترونات في البللورة.

وعلى هذا، فإن الدالة $\Psi^0(r)$ تختار لتصف حالات المجموعات الإلكترونية في التقريب الصفرى ذات الطاقة E^0 ، وبالتالي فإن حالات الإلكترونات في التقريب الأول الذى يأخذ فى الاعتبار التشوهات الضعيفة حول التأثير الأساسي يمكن وصفها بالعلاقات الآتية:

$$\begin{aligned} \Psi^1 &= \Psi^0 + \delta\Psi \\ E^1 &= E^0 + \delta E \\ U^1 &= U^0 + \delta U \end{aligned} \quad (6 - 14)$$

حيث $\delta U << U^0$, $\delta\Psi << \Psi^0$, $\delta E << E^0$

فإذا كانت معادلة شرودنجر ذات القيم $(U^0(r), \Psi^0(r), E^0)$ معلومة الحل، فإنه لا يلزم إيجاد حل المعادلة ذات القيم $(U^1(r), \Psi^1(r), E^1)$ حيث يمكن اعتبار أن القيم δE , δU , $\delta\Psi$ هى تشوهات بسيطة للنظام الموصوف بالقيم الصفرية، وهو ما سوف نوضحه من خلال دراستنا للنماذج التقريبية للإلكترون الحر، الإلكترون ضعيف الارتباط والإلكترون قوى الارتباط.

ولفهم المعنى الفيزيائى لهذه التقريبات الثلاثة وتأكيد مفهوم مناطق التأثير الأساسية، دعونا نستعرض خصائص المجال الكهربى فى شبکية البللورة للجسم الصلب، فإذا كان لدينا سلسلة من الذرات، تبعد كل منها مسافة a عن الأخرى (شكل 6-1) حيث a هي ثابت النسق البللوري، وباعتبار تأثير نواة إحدى الذرات مع إهمال تأثير أنوية الذرات المجاورة، فإنه على مسافة r من نواة هذه الذرة عندما تكون:

a) $r < R_k$

يؤثر على الإلكترون مجال كولوم الناتج عن شحنة مقدارها ($+Ze$) وتصبح دالة

$$\text{الوضع هي: } U \cong \frac{ze^2}{r}$$

b) $R_k < r < R_L$

يقل مجال النواة ويحجب بواسطة الإلكترونات الخاصين بالمدار K .

$$i.e. \quad U \cong \frac{(Z-2)e^2}{r}$$

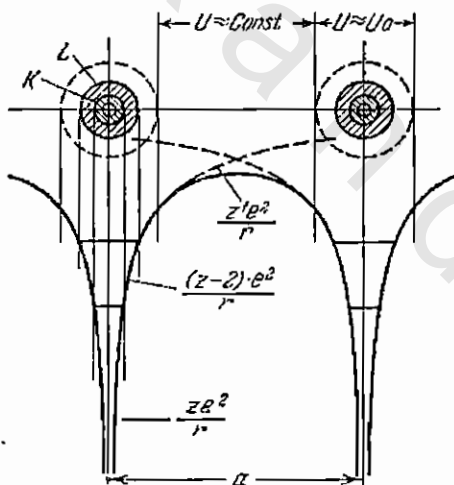
c) $R_L < r < R_M$

يحجب مجال النواة بواسطة العشرة إلكترونات الخاصة بالمدارين K ، L ، M

$$i.e. \quad U \cong \frac{(Z-10)e^2}{r}$$

إذن تقل (U) بالإبعاد عن النواة، وتقل أكثر لو حسبنا تأثير الأنوية الأخرى للذرات المجاورة. فمثلاً قيمة (U) عندما $\frac{a}{2} = r$ (أى في المركز بين نوتين) = صفرًا.

$$i.e. \quad U\left(\frac{a}{2}\right) = 0 = U_{Max}$$



شكل (1-6): خصائص المجال الدورى
لنظام مكون من سلسلة من الذرات

هذا التحليل لا يتغير في حالة الانتقال إلى وضع الذرات في البللورة، وبذلك فإنه في الجسم الصلب كما في الذرة توجد مناطق يتغير فيها الجهد فجائياً ومناطق يتغير فيها الجهد تدريجياً. نستنتج من ذلك أن المناطق ذات المجال الكهربى القوى تكون قريبة أو ملائقة للنواة (تماماً كما في الذرات العزولة) والمناطق ذات المجال الكهربى الضعيف تتراكم بين الأنوية.

والآن، إذا افترضنا أن المجال الكهربائي يكون قوياً داخل كرة نصف قطرها أى داخل حجم مقداره $\frac{4}{3}\pi r^3$ وهو ما يساوى ١٥٪ من حجم الخلية الابتدائية، فمعنى ذلك أن المناطق التي تحوى مجالاً كهربائياً قوياً تغتلى ١٥٪ من الحجم الكلى للبلاور، وفي معظم حجم البلاور يكون المجال ضعيفاً. لذلك، عند اختيار $r = 0$ يكون منطقياً تقسيم حجم البلاور الكلى إلى نوعين من المناطق هما:

أ. مناطق المجال الضعيف: وفيها دالة الوضع هي:

$$U^1(r) = U^0(r) + \delta U(r) \quad (6 - 15)$$

حيث $U^0(r) = \text{const.}$ (وذلك لأنه في التقرير الصفرى يمكن اعتبار أن تأثير مجال الأنوية على الإلكترون المعنى بالدراسة يعوض بواسطة مجال الإلكترونات الباقي)، $\delta U(r)$ عبارة عن دالة دورية لها دورية الشبكية وتعطى قيمة عدم التعويض الكامل لمجال النويات بواسطة الإلكترونات (أى تعطى قيمة الاختلاف أو التشوه الحادث للحالة الأصلية).

ب. مناطق المجال القوى: وهى محصورة بالقرب من النويات وتشغل حيزاً قليلاً من حجم البلاور، وتكون الدالة $(r) = U$ بجوار كل عقدة من عقد البلاور هي:

$$U(r) = U(r) + \delta U(r)$$

حيث تكون $(r) = U$ متساوية لقيمتها الخاصة بالذرة العزولة (أى نأخذ فى الاعتبار تأثير البئر الجهدى للذرات ولكنها تهمل التشوه الناتج من مجالات الذرات المجاورة). مما سبق نستنتج ما يلى:

- أن حالة الإلكترونات التكافؤ المتواجدة في المناطق ذات المجال الضعيف (إلكترونات التكافؤ في أشباه الموصلات) يستخدم لوصفها تقرير الارتباط الضعيف Weak-binding approximation وتمثل الدالة $(r) = U$ في التقرير الصفرى دالة الإلكترون الحر.

- كذلك بالنسبة لحالة الإلكترونات المتواجدة في المدارات الداخلية أو المرتبطة ارتباطاً قوياً بالنواة (وينطبق ذلك أيضاً على حالة الإلكترونات في العازلات) يمكن وصفها بواسطة تقرير الارتباط المحكم Tight-binding approximation حيث تمثل الدوال الصفرية $(r) = E_n^0, \Psi_n^0$ الدوال الخاصة بالذرة العزولة.

- أما تقرير الإلكترون الحر Free electron approximation فإنه يستخدم

لوصف الإلكترونات في المعادن وخاصة الفلزات القلوية Alcalides وذلك لأن الإلكترونات هذه المعادن حرة الحركة في حجم البلاوره. وهنا يمكن القول إن تأثير المجال الناتج عن الأنوية يعوض بواسطة مجال كل الإلكترونات ما عدا الإلكترون المأخوذ في الاعتبار. وبذلك يكون هذا الإلكترون حررا ولا تؤثر عليه أية قوة في البلاوره، فقط عند حدود الجسم فإن مجال البلاوره يكون حاجزاً جهدياً Potential Barrier يمنع الإلكترون من الخروج من الجسم، لذلك اقترح سيرفيلد نموذجاً لـ الإلكترونات التوصيل يفترض فيه أن المعادن عبارة عن بئر جهدي ذي قاع أملس.

تركيب نطاق الطاقة في الجوامد

Energy band structure in solids

باستخدام النماذج التقريبية الثلاثة: (الإلكترون الحر، ضعيف الارتباط، قوى الارتباط) التي سبق الحديث عنها سنحاول دراسة الأطياف الطاقية الإلكترونية بهدف الحصول على وصف كياني لحالة الإلكترونات في الجسم الصلب.

نموذج الإلكترون الحر في المعادن Free electron model of metals

يحتوى حجم $1m^3$ من المعادن على 10^{28} ذرة تقريباً، فإذا كان لكل ذرة إلكترون تكافؤ واحد فإنه يتواجد في هذا الحجم 10^{28} إلكترون تكافؤ، ومعنى ذلك أنه لدراسة حالة هذه الإلكترونات تحتاج لحل عدد 10^{28} معادلة في آن واحد. هذه المشكلة أمكن تبسيطها إلى معادلة واحدة للإلكترون كما أسلف ذكره. ولوصف حالة الإلكترون في المعادن، افترض سيرفيلد أن كل إلكترون تكافؤ يعتبر حرراً، وأن حركته مستقلة لا تتأثر بالإلكترونات الأخرى أو الأنوية في الجسم الصلب، والتاثير الوحيد لهذه الإلكترونات والأنيونية على حركة هذا الإلكترون يكون في تكوين بئر جهدي ذي حواجز جهدية يتحرك بينها ذلك الإلكترون. واقتصر نموذجاً يعتبر المعادن بئراً جهدياً مربعاً ذي قاع أملس كالبين في شكل (٦-٢)، مثل هذا الإلكترون يمكن وصفه بمعادلة شرودنجر (٦-١٣) الآتية:

$$\frac{\hbar^2}{2m_0} \Delta \Psi + (E - U)\Psi = 0$$

ولما كان الإلكترون حرراً، فإنه لا يتتأثر بأى مجالات كهربية في البلاوره، أى أن طاقة

الجهد له تساوى صفراء، حيث يمتلك فقط طاقة حركة، وبالتالي فإن معادلة شرودنجر تصبح بالصورة الآتية:

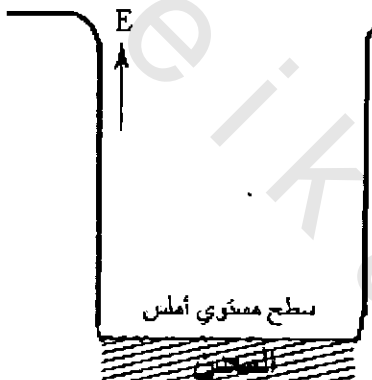
$$\frac{\hbar^2}{2m_0} \nabla^2 \Psi + E\Psi = 0 \quad (6 - 16)$$

والتي يعطى حلها كالتالي:

$$\Psi = A e^{\pm ik.r} \quad (6 - 17)$$

وبإجراء التفاضل مرتين بالنسبة للمتغير r ، نجد أن:

$$\nabla^2 \Psi = \frac{d^2 \Psi}{dr^2} = -A k^2 e^{\pm ik.r} = -k^2 \Psi$$



شكل (6-2) نموذج سمرفيلد. القاع الأملس يعني أن الإلكترون حر الحركة ولا يتفاعل مع الشبكة

وبالتعويض عن Ψ & $\nabla^2 \Psi$ في المعادلة (6-16) نحصل على العلاقة بين طاقة الإلكترون E والمتجه الموجي k كالتالي:

$$E = \frac{\hbar^2 k^2}{2m_0} \quad (6 - 18)$$

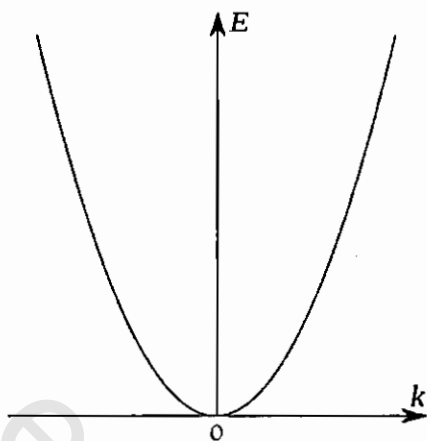
$$E = \frac{1}{2} m_0 v^2 = \frac{1}{2} \frac{m_0^2 v^2}{m_0} = \frac{p^2}{2m_0} \quad (6 - 19)$$

حيث هي كمية تحرك الإلكترون، سرعته. وبمقارنة المعادلتين السابقتين نجد أن:

$$p = \hbar k = \frac{\hbar}{\lambda} \quad (6 - 20)$$

$$\text{حيث } \hbar = \frac{\hbar}{2\pi}, k = \frac{2\pi}{\lambda}$$

والعلاقة (6-18) بين طاقة الإلكترون E والمتجه الموجي k والمسماة علاقه التشتت هي علاقه قطع مكافئ كما يتضح من شكل (6-3).



شكل(3-3): علاقـة التشتـت (E(k))

أما الحل $\psi = Ae^{\pm ik.r}$ فيمثل موجة مستوية تعطى كثافة احتمال التواجد الإلكتروني في جميع أنحاء المعدن. ويكون احتمال تواجد الإلكترون dP في عنصر الحجم dv هو $\psi\psi^*dv$ ، حيث

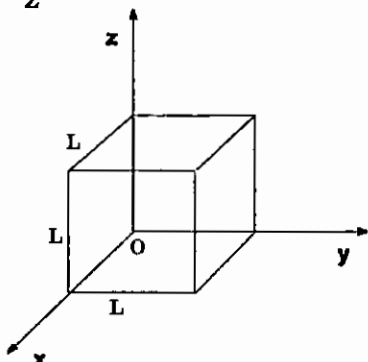
$$\frac{dp}{dv} = \psi\psi^* = Ae^{ik.r} \cdot Ae^{-ik.r} = A^2 \quad (6-21)$$

حيث A - سعة الموجة المصاحبة للإلكترون.

الشروط الحدية Boundary conditions

نفرض أن المعدن محدود، وليكن على هيئة مكعب طول ضلعه L (شكل 6-4). لكي يكون احتمال تواجد الإلكترون مهماً خارج المعدن، فإن قيمة الموجة المصاحبة له يجب أن تساوى صفراء، أي أن:

$$L \leq y \leq 0 \quad \text{عندما } \Psi = 0 \quad (6-22)$$



شكل (6-4) : الشروط الحدية.
خارج حدود البللورة

الحل العام لمعادلة شرودنجر يمكن أن يكون على الصورة الآتية :

$$\Psi = \mathcal{A} e^{ikr} + \mathcal{A}' e^{-ikr} \quad (6 - 23)$$

وبالتعويض في العلاقة (٢٣-٦) بالشرط الحدی :

$$\left. \begin{array}{l} x \\ y \\ z \end{array} \right\} = 0 \quad \Psi = 0$$

نجد أن $\mathcal{A}' = \mathcal{A}$ وتصبح العلاقة (٢٣-٦) كالتالي :

$$\begin{aligned} \Psi &= \mathcal{A} (e^{ikr} - e^{-ikr}) = \mathcal{A} [\cos(k.r) + i \sin(k.r) - \\ &\quad \cos(k.r) + i \sin(k.r)] \\ &= 2\mathcal{A} i \sin(k.r) \end{aligned} \quad (6 - 24)$$

$$\because k.r = (k_x \hat{i} + k_y \hat{j} + k_z \hat{k}) \cdot (x \hat{i} + y \hat{j} + z \hat{k})$$

$$= k_x x + k_y y + k_z z \quad (6 - 25)$$

$$\therefore \Psi = 2\mathcal{A} i \sin(k_x x + k_y y + k_z z) \quad (6 - 26)$$

والآن باستخدام الشرط الحدی الثاني وهو :

$$\left. \begin{array}{l} x \\ y \\ z \end{array} \right\} = L \quad \Psi = 0$$

$$\therefore \sin(k_x L + k_y L + k_z L) = 0 \quad (6 - 27)$$

وباعتبار المعادلة (٦-٦) في الاتجاهات X، Y، Z كل على حدة، فإن :

$$\sin(k_x L) = 0 \quad i.e \quad k_x L = 0, \pi, \dots, n_x \pi \quad \therefore \quad k_x = \frac{\pi}{L} n_x$$

$$\sin(k_y L) = 0 \quad i.e \quad k_y L = 0, \pi, \dots, n_y \pi \quad \therefore \quad k_y = \frac{\pi}{L} n_y$$

$$\sin(k_z L) = 0 \quad i.e \quad k_z L = 0, \pi, \dots, n_z \pi \quad \therefore \quad k_z = \frac{\pi}{L} n_z$$

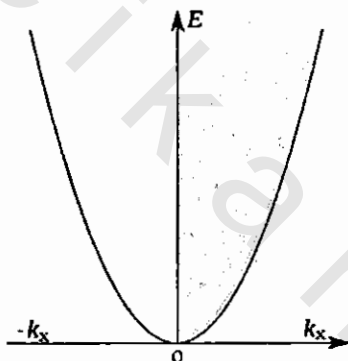
$$(6 - 28)$$

حيث n_x, n_y, n_z أعداد صحيحة موجبة أو مساوية للصفر. ومعنى ذلك، أن قيم K هي قيم منفصلة ومتتابعة أي أنها قيم مكمأة أو كمية (quantized). وبمعنى آخر، فإن تأخذ قيمها محددة (مسموحة) فقط، وبالتالي فإن كلًا من كمية الحركة ($\hbar k$) والطاقة ($\frac{\hbar^2 k^2}{2m_0}$) تأخذان قيمًا معينة (مسموحة) فقط. والقيم المسموحة للطاقة تمثل بمناطق على شكل

أشرطة (bands) مفصولة بمناطق شريطية محمرة (شكل ٦-٥). ويمكن حساب اتساع المنطقة المحمرة بطريقة تقريبية، فإذا كان المعدن طوله $L = 10^{-2} \text{ m}$ فإن اتساع المنطقة المحمرة ∇E بين المنشقتين المسموحتين المقابلتين لقيمتي $n_x = 1$ & $n_x = 0$ يكون:

$$\begin{aligned}\Delta E &= \frac{\hbar^2}{2m_0} \frac{\pi^2}{L^2} (n_{x1}^2 - n_{x0}^2) \\ &= \frac{\hbar^2}{2m_0} \frac{\pi^2}{L^2} \cong 4 \times 10^{-15} \text{ eV}\end{aligned}$$

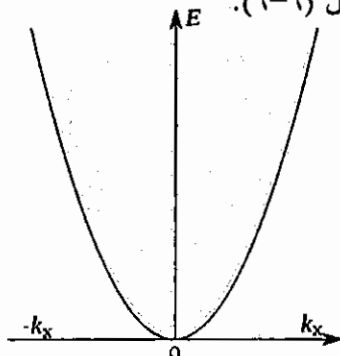
وهذه القيمة الصغيرة جداً للفاصل الطاقي تؤكد أن المناطق المسموحة عبارة عن مناطق متصلة اتصالاً زائفاً أو شبه متصلة (quasicontinues).
والآن حيث أن علاقة التشتت هي علاقة تربيعية في k حيث كل من يصف نفس



شكل (٦-٥): الحالات الطاقيّة
المسموحة لقيم k الموجبة

الحالة الطاقيّة، لذلك يجب تعديل الشروط (٢٨-٦) بالضرب في العدد ٢.
i.e. $k_x = \frac{2\pi}{L} n_x$, $k_y = \frac{2\pi}{L} n_y$ & $k_z = \frac{2\pi}{L} n_z$ (٦-٢٩)

ولهذا تعدل علاقة التشتت لتصبح ممثلاً بالشكل (٦-٦).

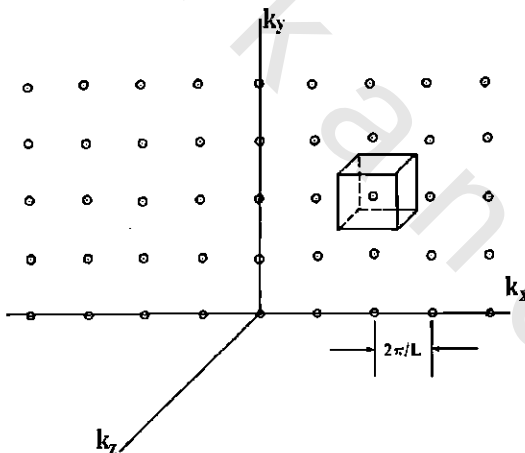


شكل (٦-٦): الحالات الطاقيّة المسموحة
للهلکترونات الحرّة لقيم k الموجبة والسلبية

كثافة الحالات

باعتبار العلاقة (29-6) فإن المتجه \mathbf{K} يكون في الفراغ K شبکية مکعبہ لها ثابت شبکیہ يساوی $\frac{2\pi}{L}$, حيث كل مجموعة من القيم تمثل خلیة ابتدائیة حجمها يساوی $(\frac{2\pi}{L})^3$ كما هو مبين بالشكل (6-7). ومن ناحیة أخرى، فإن كل مجموعة من القيم (K_x, K_y, K_z) تعطی إحداثیات حالة کمية واحدة quantum state (أى تعطی إحداثیات نقطة واحدة في الفراغ $-K$). ومعنى هذا أن عدد الحالات الكمية الإلكترونية في حجم معین تساوی عدد الخلايا الابتدائية في نفس الحجم. فإذا اعتربنا حجم المنطقة المحدودة بالكرتين اللتين نصفا قطریهما k & $k + dk$ شکل (8-6)، فإن حجم الطبقة الكرویة تكون: dv

$$dv = 4\pi k^2 dk$$



شكل (6-7): عدد الحالات الكمية يساوی عدد الخلايا الابتدائية في نفس الحجم

ويكون عدد الحالات الكمية الإلكترونية dz في عنصر الحجم هو:

$$dz = \frac{4\pi k^2 dk}{(2\pi/L)^3} \quad (6-30)$$

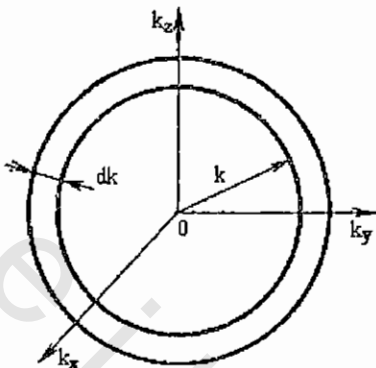
$$dk = \frac{(2m_0)^{1/2}}{2\hbar E^{1/2}} dE$$

وباستخدام العلاقة (18-6) للتعويض عن $k^2 = \frac{2m_0 E}{\hbar^2}$ ، في العلاقة (30-6) نجد أن:

$$dz = \frac{L^3}{(2\pi)^2} \left(\frac{2m_0}{\hbar^2}\right)^{\frac{3}{2}} E^{\frac{1}{2}} dE \quad (6-31)$$

وباستخدام مبدأ باولى الذى ينص على أن «كل حالة كمية يتواجد بها إلكترونات مختلفة في الحركة المغزلية»، فإن العلاقة الأخيرة تصبح كالتالى:

$$dz = \frac{2L^3}{(2\pi)^2} \left(\frac{2m_o}{\hbar^2}\right)^{\frac{3}{2}} E^{\frac{1}{2}} dE$$

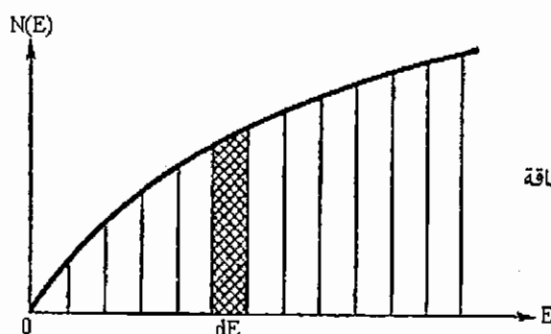


شكل (6-8) : حساب عدد الحالات الكمية في حجم ما في الفراغ -

وتعرف كثافة الحالات $N(E)$ بأنها عدد الحالات الإلكترونية الموجودة في وحدة الطاقة، أي أن:

$$N(E) = \frac{dz}{dE} = \frac{L^3}{2\pi^2} \left(\frac{2m_o}{\hbar^2}\right)^{\frac{3}{2}} E^{\frac{1}{2}}$$

والعلاقة السابقة تبين أن كثافة الحالات هي عبارة عن دالة نصف مربعة (semi square) في الطاقة كما هو واضح من الشكل (6-9)، أي بزيادة الطاقة E فإن عدد الحالات $dz = N(E) dE$ يزداد، أي أن كثافة الحالات في المنطقه الطاقية تزداد كلما زادت الطاقة.



شكل (6-9): تغير كثافة الحالات مع الطاقة

نموذج الإلكترون ضعيف الارتباط

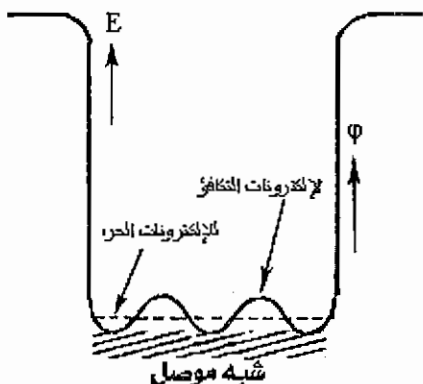
Weak binding electron approximation

بينا من قبل أن الإلكترونات التوصيل في المعادن يمكن وصفها بشكل كاف بواسطة نموذج الإلكترون الحر، أما الإلكترونات التكافؤ في حالة المواد شبه الموصلة التي يعتبر ارتباطها بالقلب الآيوني للذرات أكبر وبالتالي تأثيرها بالمجال الدورى للشبكة البلورية أكبر فيمكن وصفها بدرجة كافية عن طريق نموذج الإلكترون ضعيف الارتباط الذى يقترح أن «حالة الإلكترونات التكافؤ في شبه الموصل تختلف اختلافا طفيفا عن حالة الإلكترونات الحرة»، وهذا يعني أن:

$$U(r) = U^0(r) + \delta U(r)$$

حيث إن طاقة الجهد (r) U لإلكترون التكافؤ تختلف عن طاقة الجهد (r) U^0 للإلكترون الحر بالقيمة المصححة (r) $\delta U(r)$ الناشئة بسبب تأثير المجال الدورى للشبكة. شكل(6-10) يعطى وصفا لحالة الإلكترونات التكافؤ طبقا لنموذج سيرفيلد، حيث نلاحظ أن دالة الجهد (r) U لإلكترونات التكافؤ تتراجح حول الدالة (r) U^0 الخاصة بالإلكترونات الحرة بقيمة (r) $\delta U(r)$. ولذلك عند حل معادلة شروبنجر الخاصة بالإلكترون التكافؤ، فإننا نتوقع الحصول على قيم لكل من Ψ , E , تختلف اختلافا طفيفا عنها لحالة الإلكترونات الحرة. أى أن:

$$\left. \begin{array}{l} \Psi_k(r) = \Psi_k^0 + \delta \Psi_k \\ E(k) = E^0(k) + \delta E(k) \end{array} \right\} \quad (6 - 32)$$



شكل (6-10): حالة الإلكترونات التكافؤ
مقارنة بحالة الإلكترونات الحرة

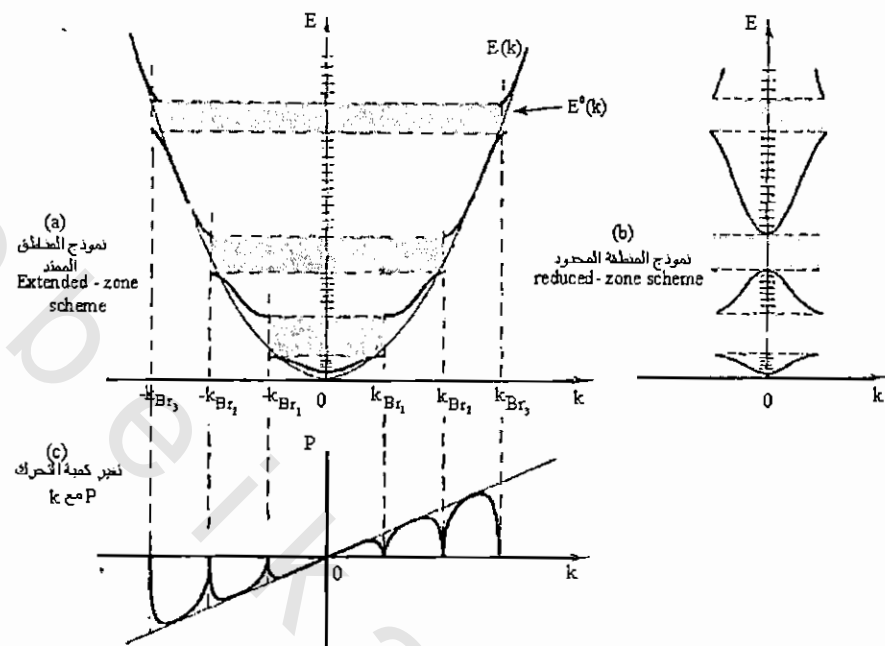
واضح أن شكل الدالة $(r)_k \Psi$ وقيمة الطاقة E_k يعتمدان على الشكل الترددى الفراغى للدالة $\delta U(r)$ ، أى يعتمدان على دورية الشبكية البليورية، وبالتالي يمكن القول، إن كلا من الدالة $(r)_k \Psi$ وقيمة الطاقة E_k تعتمد على قيمة المتجه الموجى k . ولما كانت قيمة E_k صغيرة بالنسبة لقيمة E_0^0 والقيمة $\delta \Psi$ صغيرة بالنسبة لقيمة Ψ^0 فإن شكل التوزيع الطاقى $E(k)$ فى الفراغ $-k$ لا يختلف عن شكل Ψ الذى تحقق شروط براج للتشتت فوق الحرة فى الحالة العامة. ولكن عندما k تساوى k_{Br} التى تتحقق شروط براج للتشتت فوق المستويات البليورية أو تكون قريبة منها، فإن الإلكترونات تتعكس ولا تستطيع الاستمرار فى نفس اتجاه حركتها، حيث تتكون موجة موقوفة وبالتالي فإن قيمة الدالة الموجية $(r)_k \Psi$ تختلف عن الدالة الموجية $(r)_k \Psi^0$ (التي تصف الإلكترون الحر)، كذلك فإن قيمة الطاقة E_k تختلف بشدة عن قيمتها E_0^0 بعيداً عن مواضع الانعكاس.

ولقد بيّنت الحسابات أنه عند اقتراب k من القيمة k_{Br} من ناحية القيم الصغيرة للمتجه الموجى $|K|$ فإن قيمة E_k تحيد عن القيمة E_0^0 فى اتجاه نقص الطاقة، وعند اقتراب k من k_{Br} من ناحية القيم الكبيرة للمتجه $|K|$ فإن قيمة E_k تحيد عن القيمة E_0^0 فى اتجاه زيادة الطاقة، وعليه فإن الدالة $E(k)$ يحدث لها تقطّعات عندما $k = k_{Br}$ لذلك، فإنه بسبب دورية دالة الوضع فى البليورا يتجزأ الفراغ $-k$ بواسطة مستويات براج إلى مناطق سميت بـ «Brillion's zones»، وهى مناطق مسموحة «allowed bands» حيث تكون الدالة فيها عبارة عن دالة شبه متصلة ، أما حدود هذه المنطق عندما $(k = k_{Br})$ والتى يحدث عندها قطع للدالة فإنها تحد المنطق غير المسموحة والمعروفة بالمناطق المحرمة «forbidden bands» (شكل 11-6).

بعض الخصائص الهامة لعلاقة التشتت (k)

1. يتضح من شكل (11-6) أن الدالة $E(k)$ تزيد زيادة مطردة مع زياد قيمة $|K|$ ماعدا عند حدود مناطق بـ «Brillion's zones» ف تكون قيمتها إما عظمى أو صغرى، حيث:

$$\left. \frac{dE}{dk} \right|_{k=k_{Br}} = 0 \quad (6 - 33)$$



شكل (6-6): المناطق الطاقية السموحة والمحرمة (b&a) وتغير كمية تحرك الإلكترونون للإلكترونات ضعيفة الارتباط. المناطق المطللة تمثل المناطق المحرمة مع المتجه الموجي (c) لنهر كثبة الحركة k مع P

٢. كما يتضح أيضاً أن العلاقة $E(k)$ لا يمكن كتابتها بالصورة البسيطة $E = \frac{\hbar^2}{2m} k^2$ (التي تصف الإلكترونون الحر) لكل قيمة k خاصة بالقرب من المناطق الحدية. إلا أنه في مدى صغير لقيم k بالقرب من أي قيمة للمتجه k في مدى اتصال الدالة وعلى وجه الخصوص بالقرب من النقطة الحدية ($k = k_b = k_{Br}$) يمكن أن نجزئ الدالة $E(k)$ في مفكوك تايلور مع إهمال الحدود بعد الحد الثالث كالتالي:

$$E(k) = E(k_b) + \frac{(k-k_b)}{1!} \frac{dE}{dk} \Big|_{k_b} + \frac{(k-k_b)^2}{2!} \frac{d^2E}{dk^2} \Big|_{k_b} + \dots \quad (6-34)$$

$$\therefore \frac{dE}{dk} \Big|_{k_b} = 0$$

$$\therefore E(k) = E(k_b) + \frac{(k-k_b)^2}{2} \frac{d^2E}{dk^2} \Big|_{k_b} \quad (6-35)$$

وبوضع طاقة الإلكترونون الحر على نفس صورة العلاقة (6-35) كالتالي:

$$E(k) = E(k_b) + \frac{\hbar^2}{2m} (k - k_b)^2 \quad (6-36)$$

حيث $E(k_b) = 0$, $k_b = 0$

وبمقارنة العلاقات (6-35)، (6-36) نجد أن الفرق $[E(k) - E(k_b)]$ لكلتا العلاقات يكون عبارة عن دالة قطع مكافئ في القيم $(k - k_b)$, أي أن العلاقة (6-35) تصف الإلكترون حرًا له كتلة m^* تعطى كالتالي :

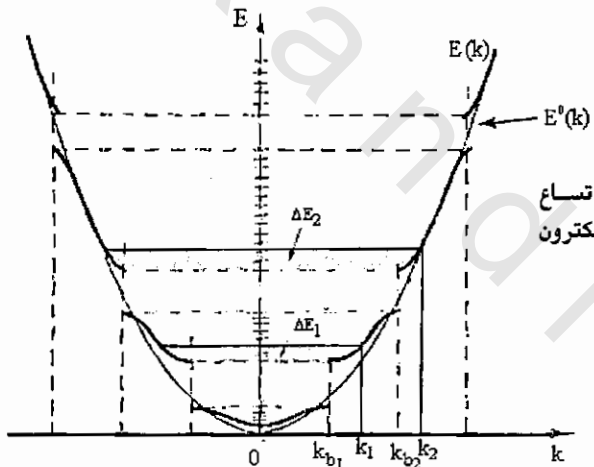
$$m^* = \frac{\hbar^2}{\frac{d^2E}{dk^2}}^{-1} \quad (6-37)$$

وتسمى m^* بالكتلة الفعالة للإلكترون (Effective mass of electron) وقيمتها يمكن أن تكون أكبر أو أصغر من كتلة الإلكترون الحر، كما أنها يمكن أن تكون موجبة أو سالبة تبعاً لقيمة المشتقة الثانية للطاقة بالنسبة للمتجه الموجي. من ذلك يتضح أنه يمكن التعامل مع الإلكترون التكافؤ على أنه الإلكترون حر له كتلة فعالة m^* وطاقة $(E = \frac{\hbar^2}{2m^*} k^2)$.

٣. المدى الطاقي ΔE_1 في المنطقة المسماومة المحدود بواسطة القيمتين k_{b1} , k_1

شكل (6-12) يمكن الحصول عليه (على غرار العلاقة (36)) كالتالي :

$$\Delta E_1 = E(k_1) - E(k_{b1}) = \frac{\hbar^2}{2m_1^*} (k_1 - k_{b1})^2 \quad (6-38)$$



شكل (6-12): تحديد علاقة اتساع المنطقة الطاقية بالكتلة الفعالة للإلكترون

بنفس الطريقة فإن المدى الطاقي في منطقة مسماومة أخرى والمحدد بواسطة القيمتين

يكون كالتالي :

$$\Delta E_2 = E(k_2) - E(k_{b2}) = \frac{\hbar^2}{2m_2^*} (k_2 - k_{b2})^2 \quad (6-39)$$

$$i.e \quad \frac{\Delta E_1}{\Delta E_2} = \frac{m_2^*}{m_1^*} \left(\frac{k_1 - k_{b1}}{k_2 - k_{b2}} \right)^2 \quad (6-40)$$

فإذا كان $(k_1 - k_{b1}) = (k_2 - k_{b2})$ ، أي عندما يكون عدد الحالات Δz واحداً في المديين ΔE_1 & ΔE_2 فإن:

$$\frac{\Delta E_1}{\Delta E_2} = \frac{m_2^*}{m_1^*} \quad (6-41)$$

وهذا يعني أن:

$$\Delta E|_{\Delta Z=const.} \propto \frac{1}{m^*} \quad (6-42)$$

أي أن المنطقة الطاقية يزداد اتساعها كلما قلت الكتلة الفعالة للإلكترون والعكس بالعكس في حالة ثبوت عدد الحالات الكمية الإلكترونية.

٤. باستخدام العلاقة $E = \frac{\hbar^2}{2m^*} k^2$ فإنه يمكن الحصول على العلاقات الآتية لكمية حركة وسرعة الإلكترون:

$$p = \frac{m^*}{\hbar} \frac{dE}{dk} \quad (6-43)$$

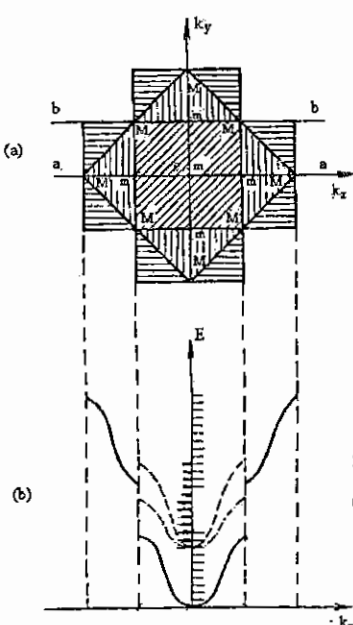
$$v = \frac{p}{m^*} = \frac{1}{\hbar} \frac{dE}{dk} \quad (6-44)$$

ولما كانت قيمة $\frac{dE}{dk} = 0$ عند حدود مناطق بربيليون، لذلك فإن قيمة كل من كمية الحركة p وكذلك قيمة السرعة v عند هذه الحدود تساوى صفرًا (أنظر شكل 6-11).

٥. رغم أن المناطق المسموحة تبدو مفصولة بمناطق محرومة في حالة بعد الواحد

(one dimension)، إلا أنها قد

تتدخل في حالة بعدين أو ثلاثة وتحتفي المناطق المحرومة. وهذا يعتمد على قيم الطاقة القصوى للمنطقة السفلى وقيم الطاقة الصغرى للمنطقة الأعلى شكل (6-13).



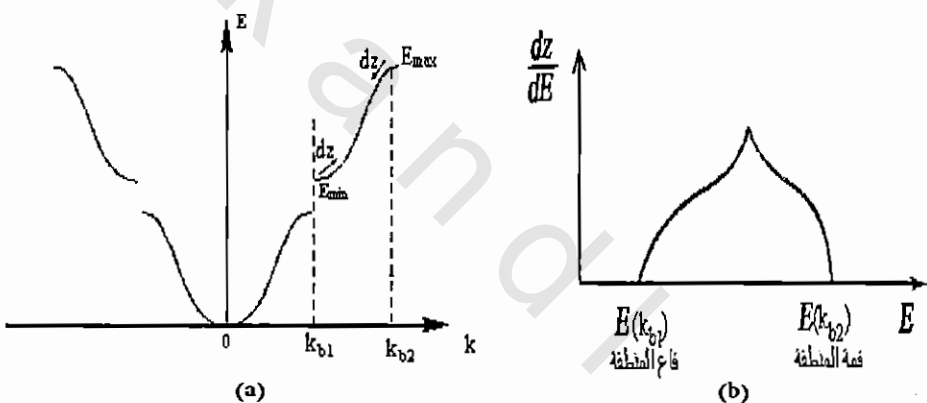
شكل (6-13): تداخل المناطق المسموحة. m, M. ترمزان لقيم الطاقة العظمى والصغرى لمنطقى بربيليون الأولى والثانوية

٦. يمكن كتابة كثافة الحالات في المنطقة الطاقية المسموحة بطريقة مماثلة لحالة الإلكترون الحر (معادلة (6-31)) كالتالي:

$$\frac{dz}{dE} = \frac{L^3}{2\pi^2} \left(\frac{2|m^*|}{\hbar^2}\right)^{3/2} |E - E_b|^{1/2}$$

$$i.e. \frac{dz}{dE} \propto \left(\frac{2|m^*|}{\hbar^2}\right)^{3/2} |E - E_b|^{1/2} \quad (6-45)$$

حيث تنسب الطاقة E لقيمتها الحدية E_b عند النهاية القصوى الأقرب. لذلك، فإن الطاقة في العلاقة (6-45) تمقس بالنسبة للقيمة القصوى E_{b2} في النصف العلوي من المنطقة، وتمقس بالنسبة للقيمة الصغرى E_{b1} في النصف السفلى (شكل 6-14.a). وعليه فإن تحليل العلاقة (6-45) يبين أنه في حالة المنطقة المسموحة الواحدة ($m^* = \text{const}$)، فإن كثافة الحالات $\frac{dz}{dE}$ تزداد بازدياد الطاقة E في النصف السفلى للمنطقة، في حين تقل في النصف العلوي منها شكل (6-14.b).



شكل (6-14): كثافة الحالات قرب قمة وقاع المنطقة الطاقية (a)، تغير كثافة الحالات داخل المنطقة مع الطاقة (b)

التمثيل البياني للتغير الدالة (k) m^* ومفهوم الفجوة
كما بینا، فإن طاقة إلكترونات التكافؤ وسرعتها والكتلة الفعالة لها في شبه

الموصل يمكن إعادة كتابتها على الترتيب كما يلى:

$$E(k) = \frac{\hbar^2 k^2}{2m^*}$$

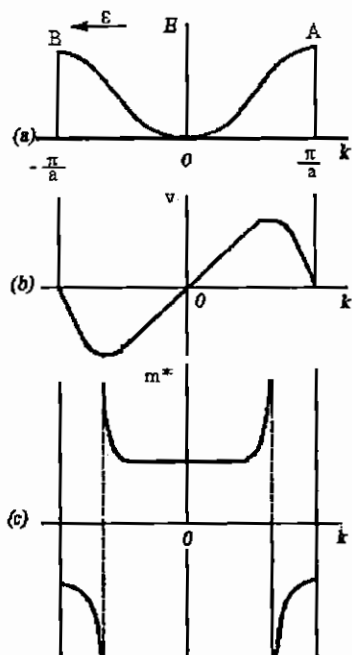
$$v(k) = \frac{1}{\hbar} \frac{dE}{dk}$$

$$\& \quad m^*(k) = \hbar^2 \left(\frac{d^2 E}{dk^2} \right)^{-1} = \hbar \left(\frac{dv}{dk} \right)^{-1} \quad (6 - 46)$$

شكل(6-15) يعطى التمثيل البياني لهذه العلاقات الثلاثة داخل حدود منطقة بريليون الأولى. واضح أن $v(k)$ تتناسب طرديا مع ميل العلاقة $E(k)$ وأن $(k \cdot v)$ تتناسب عكسيا مع ميل العلاقة $E(k)$ ، ومن ذلك يمكننا استنتاج ما يلى:
أ. بالقرب من $k = 0$ تكون علاقة التشتت علاقة تربيعية (quadratic)، أى أن $E \propto k^2$ ، لذلك فإن العلاقة $v(k)$ تكون علاقة خطية (حيث $v \propto k$) لها ميل موجب. عليه، فإن m^* تكون لها قيمة موجبة ثابتة.

ب. عند نقط انقلاب المنحنى $E(k)$ ، تأخذ السرعة $v(k)$ قيمه قصوى (إما عظمى أو صغرى) وبالتالي تؤول m^* إلى $\pm\infty$. فعند الاقتراب من القيمة القصوى مع اتجاه زيادة قيم $|K|$ فإن m^* تؤول إلى $\pm\infty$ ، بينما عندما نقترب للقيمة القصوى مع اتجاه نقص قيم $|K|$ ، فإن m^* تؤول إلى $-\infty$.

ج. بالقرب من قمة المنطقة المسموحة، حيث يقترب $E(k)$ من قيمتها القصوى، تتحول $v(k)$ إلى علاقة خطية ميلها سالب، وتأخذ m^* قيمة محددة سالبة.



شكل(6-15): التمثيل البياني لطاقة الإلكترونات (a)، سرعتها (b)، وكتلتها الفعالة (c) مع المتوجه الوجي داخل حدود منطقة بريليون الأولى

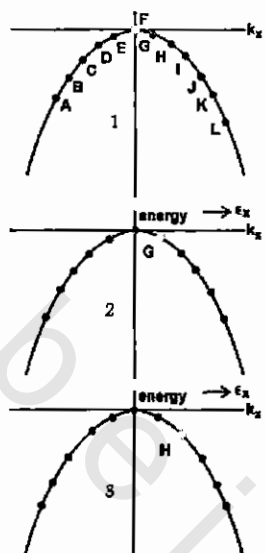
د. بالقرب من النقطتين A & B فإن منحنى العلاقة $E(k)$ يكون أفقيا تقريبا، ولذلك تكون $\frac{dE}{dk} = 0$ ، والسرعة تساوى صفرًا كذلك، وهذا بسبب توقف الإلكترونات ثم انعكاسها من سطح براج عند حدود منطقة بريليون، حيث يغير كل من المتجه الموجي k وكمية الحركة p إشارتيهما، ويعتقد أن الإلكترون يترك النقطة A ويظهر عند النقطة B.

والآن كيف يتحرك الإلكترون بعد انعكاسه على مستوى براج عند حدود المنطقة المسموحة ضد اتجاه حركته المحكومة بواسطة قوة المجال؟!

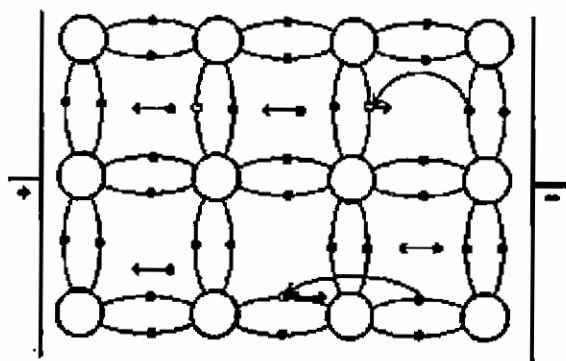
كما نعلم، فالقوة المؤثرة على الإلكترون والناشئة من مجال الشبكية هي قوة كهربية، لذلك فهي تؤثر على الشحنة وتسبب حركتها بعجلة (a) في اتجاه المجال إذا كانت الشحنة موجبة أو ضد اتجاهه إذا كانت الشحنة سالبة. إذن فالإلكترون المتحرك من B إلى A تحت تأثير قوة المجال لا يستطيع الحركة في الاتجاه المضاد بعد ارتداده فوق سطح براج عند حدود منطقة بريليون (عند النقطة A) إلا إذا عكست شحنته حتى يتضمن للقوة أن تحركه بعجلة (a) في اتجاه المجال. وحيث إن الكتلة الفعالة لها قيمة سالبة محددة بالقرب من حدود منطقة بريليون، فإنه يمكن كتابة عجلة الحركة بالصورة التالية :

$$\mathbf{a} = \frac{-e\mathbf{E}}{m^*} = \frac{e\mathbf{E}}{m^*} \quad (6 - 47)$$

تبين هذه المعادلة أنه عند الحد A لمنطقة بريليون تتعكس حوامل الشحنة (الإلكترونات) من مستويات براج بعجلة حركة لها نفس اتجاه المجال وبشحنة موجبة (+e)، مما يسمح لها بالحركة عكس اتجاهها الأول (أى في اتجاه المجال). وهذا يعني أن حامل شحنة جديد موجب الشحنة ولـه كتلة فعالة موجبة $|m|$ قد تولد، حيث أطلق عليه فجوة (hole). كذلك، عند وصول الفجوة إلى الحد B لمنطقة بريليون تختفي ويظهر بنفس الكيفية بدل منها إلكترون ليستطيع التحرك ضد اتجاه المجال. عموماً، فإن الإلكترون يظهر عند B ويختفي عند A والعكس بالنسبة للفجوة. وتتوارد الفجوات فقط بالقرب من قمة منطقة التكافؤ، وليس لها وجود في منطقة التوصيل التي لا يمكن أن تكون منطقة مليئة على الإطلاق، وبالتالي لا تتواجد حوامل شحنة بالقرب من قمتها. والفجوة لا يمكنها التحرك بذاتها لأنها عبارة عن فراغ أو موضع لإلكترون ناقص، ويتم انتقالها من موضع آخر عن طريق انتقال الإلكترون لملأ هذا الفراغ وتظهر في موضعه فجوة. ومع تكرار ذلك، تنتقل الفجوة من مكان آخر في اتجاه مضاد لحركة الإلكترونات شكل (6-16).



(a)



(b)

شكل (16-6) : حركة الفجوات قرب قمة منطقة التكافؤ(a)، وحركة الفجوات في البللورة (b)

Tight-binding approximation

يفترض هذا النموذج (كما سبق ذكره) أن حالة الإلكترونات قوية الارتباط مع الأنوية في الجسم الصلب تختلف اختلافاً طفيفاً عنها في الذرة العزولة. والدراسة المعمقة بيّنت أن النتائج المعطاة بهذا النموذج لا تختلف كثيراً عن تلك النتائج التي أمكن الحصول عليها باستخدام نموذج إلكترونات التكافؤ ضعيفة الارتباط. وباختصار، فإنه طبقاً لهذا النموذج " فإنه عند تطبيق الذرات العزولة من بعضها البعض لتكوين البللورة تنجع الدارات الطاقية الذرية في مناطق طاقية " كما هو مبين بشكل (16-17)، حيث يمكن التأكيد على الخصائص التالية :

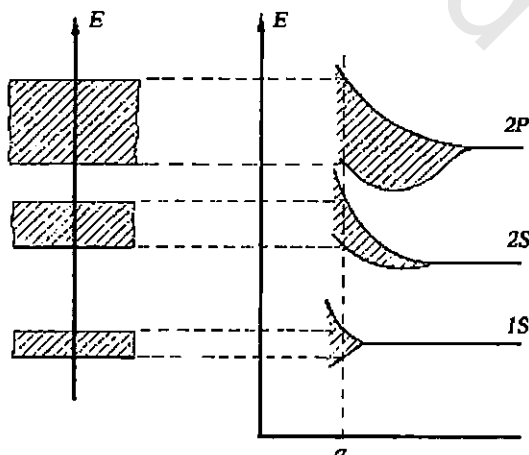
١. المناطق المسماومة تنفصل عن بعضها بمناطق محمرة ، واتساع المناطق المحمرة للإلكترونات المرتبطة ارتباطاً قوياً بالأنوية يكون أكبر منه للمناطق المسماومة.
٢. كل منطقة مسماومة لها وزنها الإحصائي الخاص «g» وهو عدد الإلكترونات التي يمكن أن تشغّل الحالات في المنطقة.
٣. عدد الحالات ثابت القيمة، أي أن عدد الحالات في الذرات العزولة تساوى

٤. مع ازدياد قيمة العدد الكمي الرئيسي n فإن المناطق المسموحة تتسع والمناطق المحرمة تضيق.

٥. عملية المقابلة هذه بين مستويات الطاقة في الذرة المعزولة والمناطق الطاقية في البلاوره ممكنة أيضاً لمعظم الحالات، ففي حالة الإلكترونات ضعيفة الارتباط، فإن المناطق المحرمة تكون موجودة ولكنها صغيرة وقد تختفي أحياناً بسبب عملية التداخل بين المناطق المسموحة، ولكن للإلكترونات الحرة وهذه المقابلة غير ممكنة.

٦. لو كان لدينا عدد N_1 ذرة صوديوم، N_2 ذرة كلور فعند تكوين بلاوره كلوريد الصوديوم NaCl فإن المستويات في ذرات الصوديوم تكون منطقة طاقية وفيها عدد المستويات يساوى N_1 ، كذلك المستويات $1s$ لذرات الكلور تكون منطقة طاقية وعدد المستويات فيها يساوى N_2 . لذلك فإن تسمية المنطقة الطاقية باسم المستوى الذري التي تكونت منه تكون غير كافية، ويلزم الإشارة إلى نوع الذرة التي تكونت منها هذه المنطقة. فإذا رمزنا للمركب NaCl بالرمز MX حيث M تدل على ذرات الصوديوم، X تدل على ذرات الكلور فإن :

PM-zone
SX-zone S-zone



شكل (17-6): الناطق الطاقية طبقاً لنموذج الارتباط الإلكتروني القوى

٧. مما سبق يتبع أن التركيب الطاقي للمناطق متشابه في حالتي الإلكترونات ضعيفة الارتباط والإلكترونات قوية الارتباط، لذلك فهذه المانطق لا تكون ناتجة بسبب طبيعة التقريرات المستخدمة وإنما تعتبر خاصية لكل الإلكترونات في الجسم الصلب.

المعادن، أشباه الموصلات، العازلات

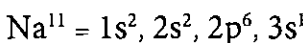
لما كانت المدارات العميقـة ($\dots, 1s^2, 2s^2, 2p^6$) تكون مناطق طاقيـة مليـئة تماماً (شكل ١٨-٦)، فإنه لا يمكنها المشاركة في عملية التوصيل الكهربـي أو أي عمليـات ديناميـكـية أخرى في الجوـامـد، وتكون المـانـاطـقـ الفـعـالـةـ فيـ هـذـهـ العـمـلـيـاتـ الـأـنـتـقـالـيـةـ هـمـاـ منـطـقـتـاـ التـكـافـؤـ (V.b)ـ والـتـوـصـيـلـ (C.b). لذلك جـرـتـ العـادـةـ عـنـ الـحـدـيـثـ عـنـ المـانـاطـقـ الطـاـقيـةـ أـنـ تـهـمـلـ كـلـ المـانـاطـقـ العـمـيقـةـ وـنـكـتـفـيـ بـالـتـعـامـلـ مـعـ مـنـطـقـتـيـ التـكـافـؤـ وـالـتـوـصـيـلـ وـالـمـنـطـقـةـ السـحـرـمـةـ إـنـ وـجـدـتـ بـيـنـهـمـ شـكـلـ (١٩-٦). وـطـبـقاـ لـنـظـرـيـةـ الشـرـيـطـ (Band theory)، فإنـ المعـادـنـ تـتـمـيـزـ بـعـدـ وـجـودـ مـنـطـقـةـ مـحـرـمـةـ بـيـنـ مـنـطـقـتـيـ التـوـصـيـلـ وـالـتـكـافـؤـ. أـمـاـ المـوـادـ التـىـ لـهـاـ $E_g < 3\text{ eV}$ ـ فـلـقـدـ صـنـفـتـ عـلـىـ أـنـهـاـ موـادـ شـبـهـ موـصـلـةـ. وـتـسـمـىـ الـوـادـ بـالـعـازـلـاتـ إـذـاـ كـانـ لـهـاـ $E_g > 3\text{ eV}$.

تأثير امتلاء منطقة التكافؤ على التوصيل الكهربـي

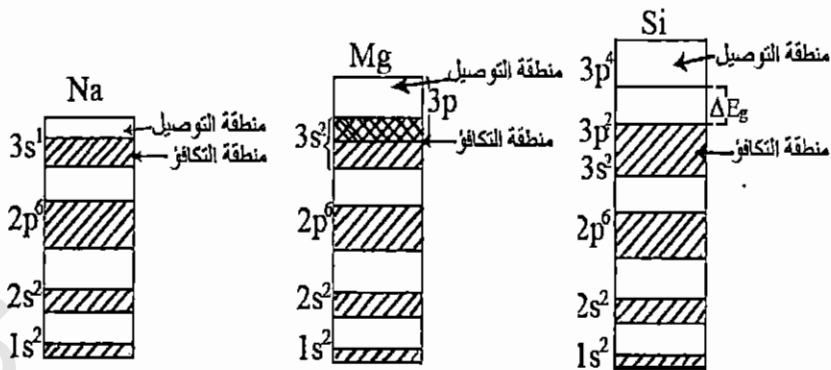
لـماـ كـانـتـ المـانـاطـقـ الطـاـقيـةـ العـمـيقـةـ خـامـلـةـ كـهـرـبـيـاـ، فإنـ قـدـرـةـ المـادـةـ عـلـىـ التـوـصـيـلـ الـكـهـرـبـيـ تـتـجـدـدـ فـقـطـ مـنـ كـيـفـيـةـ تـكـوـيـنـ مـنـطـقـةـ التـكـافـؤـ، وـالـتـىـ يـمـكـنـ أـنـ تـكـوـنـ:

أـ مـلـيـئـةـ جـزـئـيـاـ:

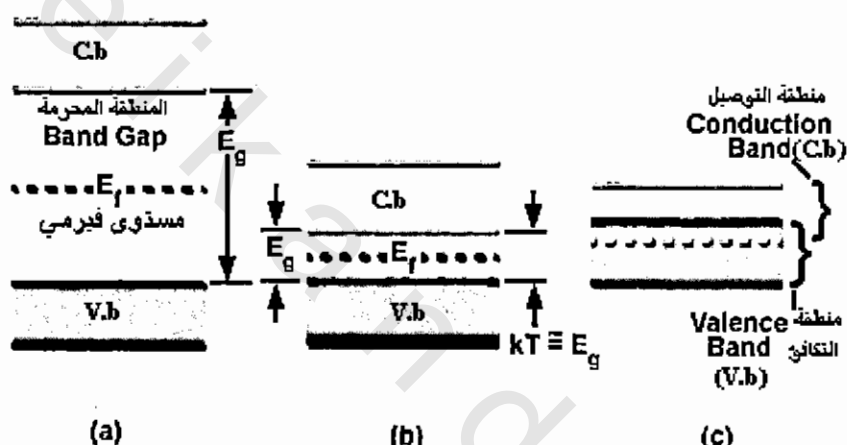
فـيـ هـذـهـ حـالـةـ فإـنـهـ عـنـدـ تـطـبـيـقـ مـجـالـ كـهـرـبـيـ خـارـجـيـ تـتـحـرـكـ إـلـكـتـرـوـنـاتـ فـيـ الـأـمـاـكـنـ الـمـجاـوـرـةـ الـخـالـيـةـ لـلـشـبـكـيـةـ الـبـلـلـوـرـيـةـ مـسـبـبـةـ تـوـصـيـلـاـ كـهـرـبـيـاـ. وـيـنـتـمـيـ لـهـذـاـ النـوعـ كـلـ مـنـ عـنـاصـرـ الـفـلـزـاتـ الـقـلـوـيـةـ مـثـلـ Li, Na, K, Rb, Csـ وـعـضـ الـعـنـاصـرـ الـأـخـرـىـ مـثـلـ Cu, Ag, Auـ، وـكـمـثالـ سـنـاخـذـ عـنـصـرـ الصـوـدـيـومـ حـيـثـ:



الـمـانـاطـقـ مـنـ 1sـ حـتـىـ 2pـ مـلـيـئـةـ كـلـيـاـ بـإـلـكـتـرـوـنـاتـ بـيـنـمـاـ الـمـنـطـقـةـ 3sـ مـلـيـئـةـ جـزـئـيـاـ شـكـلـ (١٨-٦)، لذلك فـهـىـ تـبـدوـ كـمـنـطـقـتـيـنـ مـتـجـاـوـرـتـيـنـ إـحـدـاهـمـاـ مـلـيـئـةـ (تـمـثـلـ مـنـطـقـةـ التـكـافـؤـ)ـ وـالـأـخـرـىـ خـالـيـةـ (وـتـمـثـلـ مـنـطـقـةـ التـوـصـيـلـ).



شكل (18-6): اعتماد خصائص المادة على كيفية تكوين منطقة التكافؤ



شكل (19-6): المناطق الطاقية الفعالة في كل من العازل (a)، شبه الموصل(b) والمعدن (c)

بـ- مليئة كلياً ومتداخلة مع منطقة خالية

وفي هذه الحالة يمكن لـإلكترونات التكافؤ أن تتحرك في المنطقة الخالية مسببة توصيلاً كهربياً عند وجود مؤثر خارجي، وينتني لهذا النوع عناصر المجموعة الثانية في جدول مندليف، فمثلاً تتوزع إلكترونات الماغنسيوم بالصورة: $Mg^{12} = 1s^2, 2s^2, 2p^6, 3s^1$ حيث تمثل منطقة التكافؤ الحالات $3s$ وهي مليئة كلياً بالإلكترونات مما يعطي انطباعاً كأن الماغنسيوم عازل، إلا أنه وجد أن المنطقة $3s$ تتداخل مع المنطقة $3p$ حيث تصبح $3s$ هي منطقة التكافؤ، $3p$ هي منطقة التوصيل شكل (18-6). وعند تأثير مجال كهربائي خارجي تتحرك الإلكترونات في المنطقة الخالية $3p$ مسببة توصيلاً كهربياً.

جـ- مليئة كلية بالإلكترونات

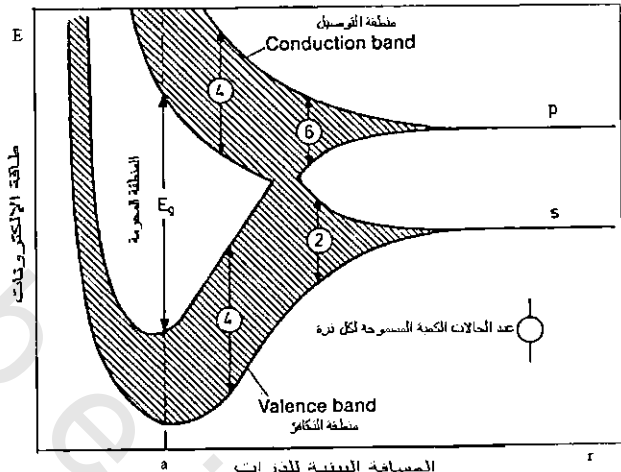
المنطقة المليئة كلية بالإلكترونات تمثل منطقة التكافؤ، وتمثل منطقة التوصيل بمنطقة أخرى خالية تماماً، والمسافة الطاقية التي تفصل بينهما تكون كبيرة للدرجة التي تجعل من الصعب على الإلكترونات أن تنتقل من المنطقة المشغولة إلى الخالية في الظروف العادية، وعليه فالمواد التي تنتمي لهذا النوع تعتبر عازلات كهربياً. فمثلاً $\text{Cl}^{17} = 1s^2, 2s^2, 2p^6, 3s^2, 3p^5$ & $\text{Na}^{11} = 1s^2, 2s^2, 2p^6, 3s^1$ يتحددان معًا ليكونا بللورة من كلوريد الصوديوم عن طريق انتقال إلكترون من الصوديوم إلى الكلور ليصبح :

$$\text{Na}^{(+)}) = 1s^2, 2s^2, 2p^6, 3s^0 \text{ & } \text{Cl}^{(-)} = 1s^2, 2s^2, 2p^6, 3s^2, 3p^6$$

وتمثل المنطقة منطقة $\text{Cl}^{(-)} = 3p^6$ التكافؤ، و $\text{Na}^{(+)} = 3s^0$ منطقة التوصيل، والمسافة الطاقية بينهما تمنع انتقال الإلكترونات بين منطقتي التكافؤ والتوصيل في الظروف العادية.

دـ- منطقة التكافؤ في عناصر المجموعة الرابعة (أشباء الموصلات)

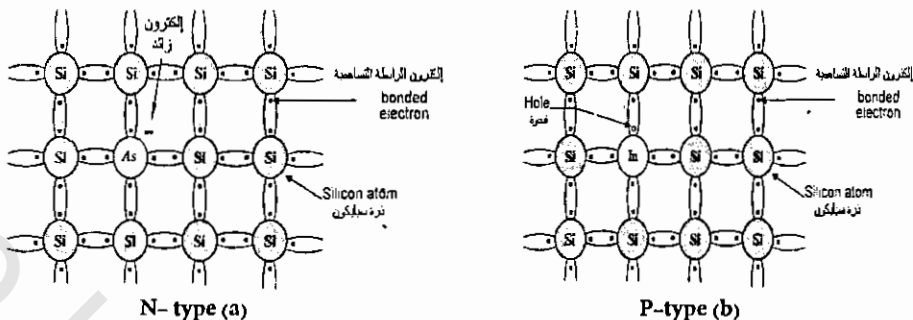
تعتبر عناصر المجموعة الرابعة مثل $\text{C}, \text{Si}, \text{Ge}, \text{Sn}$ عازلات في درجات الحرارة العادية (أشباء الموصلات حالة خاصة من العازلات)، ولنأخذ على سبيل المثال عنصر السيليكون $\text{Si}^{14} = 1s^2, 2s^2, 2p^6, 3s^2, 3p^2$ والذي توزيعه الإلكتروني يعطي انطباعاً بأنه نوع من الموصلات الكهربائية بسبب امتلاء $3p$ جزئياً. إلا أنه تبين أن منطقة التكافؤ تتكون من الحالات $3s$ وحالات فرع واحد من $3p$ ، في حين تتكون منطقة التوصيل من حالات الفرعين الآخرين من $3p$. وبذلك تكون منطقة التكافؤ مليئة كلية ومنطقة التوصيل خالية تماماً من الإلكترونات. والمسافة الطاقية بينهما تحدد درجة عازلية هذا العنصر، وهو ما يحدث لكل عناصر المجموعة الرابعة (شكل 6-20). قبل تكون الرابطة البلورية فإن الحالات $3p$ يكون بها 6 أماكن، مشغول منها مكانان فقط. وبعد الترابط وتكون البللورة تشتمل منطقة التكافؤ على كل الحالات المشغولة وعددها أربع حالات، بينما تضم منطقة التوصيل الحالات الأربع الخالية، وتفصلها منطقة محمرة اتساعها E .



شكل (20-6) : تكون المانعات الطاقية في عناصر المجموعة الرابعة للجدول الدوري

نظريّة الشوائب في التركيّب الإلكتروني

Elementary theory of impurity state



شكل (21-6): التركيب البلوري لشبكة الموصى الشائبي

ولقد تبين أن وجود تركيزات صغيرة من الذرات الآخذة أو المعطية في هذه البلورات يؤدي إلى تكوين مستويات طاقية E_i أو E_d في المنطقة المحرومة بالقرب من قمة منطقة التكافؤ أو قاع منطقة التوصيل على الترتيب.

فالإلكترون الزائد من ذرة الزرنيخ يمكن أن يتفاعل مع عدد كبير من ذرات السيليكون، مما يجعل قوة ارتباطه (قوة كولوم) ضعيفة نسبياً بآيون الزرنيخ، وحيث إنه يتحرك في مجال الآيون الموجب لذرة الزرنيخ فإنه بذلك يسلك سلوكاً مشابهاً لإلكترون ذرة الهيدروجين. لهذا فإننا سوف نتبع نفس الخطوات في حل معادلة شرودنجر تماماً كما في نموذج ذرة الهيدروجين، إلا أنه يجب أن نأخذ في الاعتبار العاملين الإضافيين الآتيين:

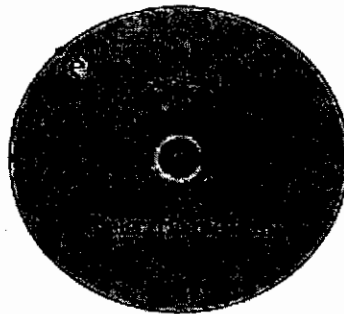
الأول: أن إلكترون الذرة الشائبة لا يتواجد فقط في مجال كولوم لآيون الذرة الشائبة وإنما يؤثر عليه أيضاً المجال الدورى للشبكة البلورية، لذلك فمن الضروري ألا نتعامل مع كتلته الحقيقية بل يجب أن نتعامل مع كتلته الفعلية m^* .

الثانى: أن التفاعل بين الإلكترون والآيون الموجب ذى الشحنة ze يحدث داخل الجسم الصلب الذى له ثابت عزل كهربى ϵ يختلف عنه فى حالة الفراغ، لذلك يلزم إدخال قيمة ϵ فى علاقة طاقة الوضع للإلكترون الشائب (شكل 22-6). وباعتبار هذين العاملين فإن طاقة الوضع (r) U للإلكترون يمكن أن تحدد بالعلاقة الآتية:

$$U(r) = \frac{-ze^2}{4\pi\epsilon_0\epsilon r} \quad (6-48)$$

وتصبح معادلة شرودنجر التى تصف هذا الإلكترون كالتالى :

$$\left(-\frac{\hbar^2}{2m^*} \nabla^2 - \frac{ze^2}{4\pi\epsilon_0\epsilon r} \right) \Psi_a = E_n \Psi_a$$



شكل (22-6): الإلكترون الزائد لذرة الزرنيخ يسلك سلوكاً مشابهاً للإلكترون ذرة الهيدروجين

وباستخدام نفس الخطوات كما في حالة إلكترون ذرة الهيدروجين لحل معادلة شرودنجر السابقة يمكن إيجاد E_n كالتالي:

$$E_n = E_c - \frac{m^* z^2 e^4}{8\hbar^2 \epsilon_0^2 \epsilon^2} \cdot \frac{1}{n^2} = E_c - \frac{m_0 z^2 e^4}{8\hbar^2 \epsilon_0^2 \epsilon^2} \frac{m^*}{m_0} \cdot \frac{1}{n^2} \quad (6-49)$$

$$\text{& } n = 1, 2, 3, \dots$$

حيث E_n - الموضع الطاقي للمستوى الشائبي رقم n ، والذي يقع في المنطقة المحرمة تحت قاع منطقة التوصيل كما يتضح من العلاقة (6-49). عندما $n=1$ فإن طاقة المستوى الأساسي تكون كالتالي:

$$E_1 = E_c - \frac{m_0 z^2 e^4}{8\hbar^2 \epsilon_0^2 \epsilon^2} \frac{m^*}{m_0} = E_d$$

وبالتعويض عن $e_0, \epsilon, \hbar, m_0, e$ بقيمها العددية وأخذ الطاقة بالإلكترون فولت نحصل على:

$$E_1 = E_c - \frac{13.52 z^2}{\epsilon^2} \left(\frac{m^*}{m_0} \right) = E_d \quad (6-50)$$

وتكون طاقة التأين للمستوى الأساسي هي :

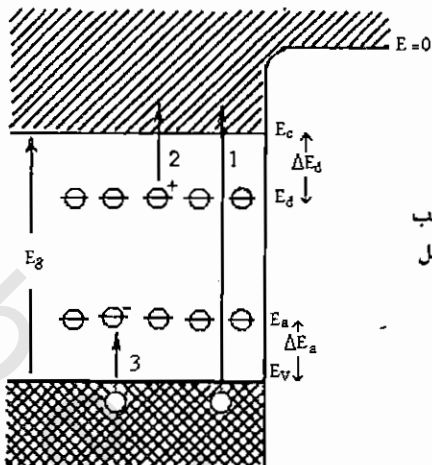
$$\Delta E_d = E_c - E_d = \frac{13.52 z^2}{\epsilon^2} \left(\frac{m^*}{m_0} \right) \text{ eV} \quad (6-51)$$

بالتعويض في العلاقة (6-49) من (6-51) نجد أن :

$$E_n = E_c - \frac{\Delta E_d}{n^2} \quad (6-52)$$

نستنتج من ذلك أن :

- المستوى الأساسي يقع تحت منطقة التوصيل بمسافة ΔE_d ، ويقع المستوى n على بعد $\frac{\Delta E_d}{n^2}$ تحت منطقة التوصيل شكل (6-23).



شكل (23-6): المستويات الطاقية لذرات الشوائب والإنقلالات الإلكترونية المختلفة في شبه الموصى

٢. طاقة التأين تعتمد على Z^2 (حيث Z هي شحنة أيون الشائب وهي في حالتنا هذه تساوى شحنة إلكترون واحد بإشارة موجبة، أي أن $Z=1$).

٣. حيث أن $Z^2 \propto \Delta E_d$ لذلك فالمستوى الشائبي الذي ذرته تعطى ٢ إلكترون يقع أسفل المستوى الذي تعطى ذرته إلكترونا واحدا.

وفي حالة الشوائب الآخذة يمكن بحل معادلة شرودنجر أن نحصل على:

$$E_n = E_V + \frac{\Delta E_a}{n^2} \quad (6 - 53)$$

حيث:

$$\Delta E_a = \frac{13.52z^2}{\epsilon^2} \left(\frac{m^*}{m_0} \right) eV \quad (6 - 54)$$

المستوى الأساسي للذرات الآخذة يقع فوق قمة منطقة التكافؤ E_T بالمسافة الطاقية ΔE_d شكل (23-٦)، بينما المستوى رقم n يقع أعلى قمة منطقة التكافؤ بالمسافة $\frac{\Delta E_a}{n^2}$ كذلك المستويات ... $n = 2, 3, \dots$ تقع تحت المستوى الأساسي للذرات الآخذة.

تمثيل العمليات الإلكترونية على المخطط الطaci

كما علمنا، فإن منطقتي التكافؤ والتوصيل في المعدن يتكونان إما من منطقة واحدة أو من منطقتين متداخلتين (overlapped)، حيث تمثل الإلكترونات لشغف الأماكن ذات الطاقة المنخفضة مكونة منطقة التكافؤ، أما الأماكن الخالية (الأعلى طاقة) فإنها تكون منطقة التوصيل، لذلك فالإلكترون في المعدن لا يحتاج تقريباً لطاقة كي ينتقل من منطقة التكافؤ إلى منطقة التوصيل، حيث تعتبر الإلكترونات حرة وتعتبر الذرات متأينة. أما في أشباه الموصلات (أو العازلات)، فإن عملية تأين ذرة المادة نفسها يعني

أن إلكتروناً (أو أكثر) قد انفصل عن الذرة وأصبح حراً ليتحرك في فراغ البلازما تاركاً خلفه آيوناً موجباً (فراغ موجب hole). هذه العملية يمكن تمثيلها على المخطط الطيفي بالانتقال 1 من منطقة التكافؤ إلى منطقة التوصيل لشبه الموصل سواء كان نقياً أو شائباً (شكل 6-23)، حيث ينتج عن ذلك إلكترون حر في منطقة التوصيل وجدة في منطقة التكافؤ. والقيمة الطافية لهذا الانتقال تعبر عن طاقة تأين ذرة المادة. عندما تتأين الذرة المعطية، فإنها تقضي إلكتروناً يتتجول في البلازما حرراً، وتتصبح الذرة آيوناً موجباً، تمثل هذه العملية بالانتقال 2. أما الذرة الآخذة فتكتسب إلكتروناً (ليكن ذلك عن طريق خلع أحد الإلكترونات التكافؤ لشبه الموصل) فتتحول الذرة إلى آيون سالب ويكون في موضع الإلكترون المخلوع وجدة موجبة. يمثل هذا بالانتقال 3. المسافة الطافية للانتقال 2 أو 3 تعبر عن طاقة التأين للذرة المعطية أو الآخذة على الترتيب.

